



بررسی ابتدا به ساکن خواص الکترونی و ترمومالکتریکی تک لایه جدید B_2CO

محبی اشهدی و داود واحدی فخرآباد^۱

۱. گروه فیزیک، دانشکده علوم، دانشگاه سیستان و بلوچستان، زاهدان

۲. گروه فیزیک، دانشکده علوم، دانشگاه نیشابور، نیشابور

پست الکترونیکی: mo_ashhadi@phys.usb.ac.ir

(دریافت مقاله: ۱۴۰۰/۲/۱۳؛ دریافت نسخه نهایی: ۱۴۰۰/۴/۲۴)

چکیده

در این مقاله، خواص ترمومالکتریکی تک لایه جدید دو بعدی B_2CO با استفاده از محاسبات اصول اولیه به دست آمده است. ساختار نواری و چگالی حالت‌های الکترونی بر پایه نظریه تابعی چگالی با استفاده از بسته محاسباتی کوانتموم-اسپرسو (QE)، مورد مطالعه قرار گرفته است. خواص ترمومالکتریکی با استفاده از معادله تراپردی نیمه کلاسیکی بولتزمن در تقریب زمان واهلش و در بسته محاسباتی BoltzTraP محاسبه شدند. این خواص تراپرد الکتریکی شامل ضرایب رسانش الکتریکی (S)، رسانندگی گرمایی (α)، ضریب سیبک (S) و کمیت بدون بعد ضریب ارزشی ZT هستند که برای طراحی ادوات ترمومالکتریکی مناسب هستند. بر اساس نتایج ما، تک لایه دو بعدی B_2CO نشان دهنده یک نیم‌رسانا با گاف نواری غیر مستقیم و با مقدار ۱,۶۸ مطالعه تراپردون ولت است. نتایج محاسبات عددی خواص تراپردی تقریباً همسانگرد برای تک لایه دو بعدی B_2CO را نشان می‌دهند. به ویژه، مطالعه ترمومالکتریک تک لایه دو بعدی B_2CO ، عملکرد خوب ترمومالکتریکی با ضریب ارزشی بالا را نمایش می‌دهد، به طوری که نانوساختار B_2CO یک نیم‌رسانا نوچ نوع n است و مقدار ضریب سیبک و ضریب ارزشی در دمای اتاق به ترتیب، $K=2595\mu V/K$ و $\alpha=1$ به دست آمدند.

واژه‌های کلیدی: نظریه تابعی چگالی، معادله تراپردی بولتزمن، تک لایه B_2CO ، ضریب سیبک، ضریب ارزشی

۱. مقدمه

تحقیقات انجام گرفته روی گرافین، ویژگی‌های جالب توجه و کاربردهای متنوع آن را آشکار ساخته است [۱-۳] که این امر انگیزه‌ای قوی جهت پژوهش روی سایر مواد تک لایه دو بعدی را در دهه اخیر فراهم کرده است [۴-۷]. از آنجایی که کاربردهای گرافین به گاف نواری صفر آن محدود می‌شود لذا یافتن مواد دو بعدی جایگزین از اهمیت ویژه‌ای برخوردار

هر چه مقدار ضریب عامل توان ($PF=S^2\sigma$) بالاتر و رسانندگی گرمایی (K_e+K_1) پایین‌تر باشد، بهره‌وری ترموالکترونیکی بهتر خواهد بود. در دهه اخیر تحقیقات گسترهای در بهبود بهره‌وری مواد ترموالکترونیکی انجام شده است [۱۵]. تحقیق روی مواد جدید هنوز یک مسیر مهم برای به دست آوردن مواد ترموالکترونیکی با کارایی بالا است.

در این مقاله، به منظور جستجوی مواد ترموالکترونیک با کارایی بالا، با استفاده از نظریه تابعی چگالی همراه با معادله ترابردی نیمه کلاسیکی بولتزمن، خواص الکترونی و ترموالکترونیکی نانوساختار تک لایه B_2CO را بررسی می‌کنیم. نتایج نشان می‌دهند که خواص ترموالکترونیک این نانوساختار، ضریب سیبک بزرگ، ضریب عامل توان بالا و رسانندگی گرمایی پایین دارد. نکته مهم این است که، می‌توان ضریب سیبک، ضریب ارزشی و ضریب عامل توان را با توجه به نوع حامل‌های n و p ، تا حد زیادی افزایش داد.

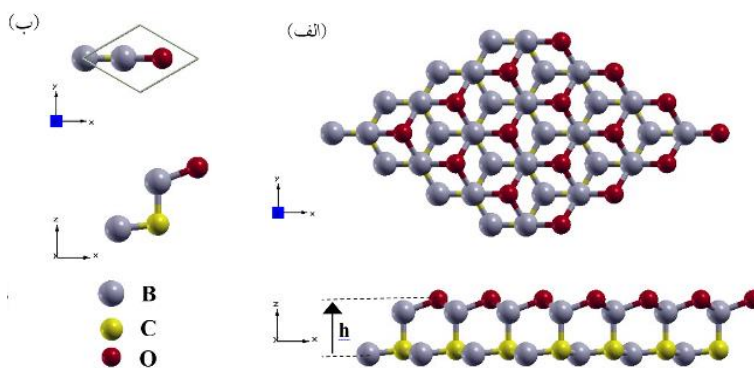
۲. روش محاسبات

در این مقاله، ابتدا محاسبات اصول اولیه بر اساس نظریه تابعی چگالی، با استفاده از بسته نرم‌افزاری کوانتموم-اسپرسو [۱۶] انجام شد و برای تعیین پتانسیل همبستگی-تبادلی از تقریب شبیه تعمیم یافته (GGA) که توسط پردویو و بورک و انزروف [۱۷] ارائه شده، استفاده شده است. از آنجا که محاسبات به روش خود سازگار و برای مجموعه معینی از نقاط درون منطقه اول بریلوئن انجام می‌شود، لذا دقت و سرعت محاسبات بستگی شدیدی به انتخاب صحیح پارامترهایی نظری تعداد نقاط k و انرژی قطع دارد. برای دست‌یابی به دقت مناسب در محاسبات از روش مونخورست-پک و انرژی قطع $eV = 700$ و تحت نمونه برداری از منطقه اول بریلوئن $16 \times 16 \times 1$ ، استفاده کردہ‌ایم. ثابت شبکه و مکان‌های اتمی را به طور کامل واهش کرده تا همگرایی انرژی حدود $10^{-6} eV$ و نیروی وارد بر هر اتم کمتر از $0.02 eV/\text{\AA}$ شود و برای کمینه کردن انرژی نسبت به موقعیت اتم‌ها، قضیه هلمن-فایمن را به کار برده‌ایم. همچنین برای بهینه‌سازی حجم، 15\AA خلا، برای جلوگیری از اندرکنش بین

نیم‌رساناهای دو بعدی از اهمیت ویژه‌ای برخوردار هستند. برای یافتن یک ماده تک لایه دو بعدی جدید، می‌توان به طور مستقیم با یک روش تجربی آن را سنتز کرد. با این وجود، بهتر است قبل از سنتز آزمایشگاهی یک ماده دو بعدی احتمالی، با استفاده از محاسبات اصول اولیه بر پایه نظریه تابعی چگالی (DFT)، امکان وجود، پایداری و خصوصیات فیزیکی-شیمیایی آن را ارزیابی کرد. به این ترتیب، از دیدگاه نظری می‌توان به نگرشی عمیق برای نتیجه آزمایشگاهی دست یافت و یک ماده دو بعدی مؤثر را جهت استخراج معرفی کرد. لازم به ذکر است جهت سنتز ماده دو بعدی در محیط آزمایشگاهی، ابتدا لازم است پایداری ارزی آن از دیدگاه نظری مورد تأیید قرار گیرد. بنابراین، پیشنهاد یک نیم‌رسانای تک لایه دو بعدی با ویژگی‌های الکترونیکی جدید نه تنها یک مسئله علم مواد است بلکه از نظر فنی نیز حائز اهمیت است.

در مطالعه اخیری که بر پایه محاسبات اصول اولیه انجام شده است، یک گروه تحقیقاتی اثبات کردند که نانوساختار تک لایه B_2CO می‌تواند وجود داشته باشد [۱۲]. پایداری ترمودینامیکی این ماده دو بعدی پیشنهادی با محاسبه ارزی همبستگی و پایداری دینامیکی آن با محاسبه پراکندگی فونون بررسی شده است. خواص مناسب این نانوساختار، موجب شده که در زمینه‌های متعددی در صنعت کاربرد داشته باشد [۱۲]. همچنین در مطالعه‌ای دیگر، خواص الکترونی و اپتیکی تک لایه B_2CO مورد بررسی قرار گرفته است. نتایج این بررسی پایداری ساختاری و خواص بر جسته الکترونی و فوتولکتالیستی را نشان می‌دهد [۱۳].

مواد ترموالکترونیک دسته‌ای از مواد با پتانسیل بالا هستند که ما را قادر می‌سازند تا به طور مستقیم گرمایی را به الکتروسیتی و یا بالعکس، از طریق ضریب سیبک و یا اثر پلتیه، تبدیل کنیم. بهره‌وری مواد ترموالکترونیک توسط کمیت بدون بعد ضریب ارزشی ($ZT=S^2\sigma T/(K_e+K_1)$) نشان داده می‌شود که در آن S ضریب سیبک، σ رسانندگی الکترونیکی، T دمای مطلق، K_e و K_1 به ترتیب، رسانندگی گرمایی الکترون‌ها و رسانندگی گرمایی فونونی ناشی از ارتعاشات شبکه هستند [۱۴]. بدیهی است که



شکل ۱. (الف) نمای بالا و جانبی تک لایه B₂CO و (ب) سلول واحد تک لایه B₂CO از نمای بالا و جانبی.

جدول ۱. ثابت‌های شبکه بهینه‌سازی شده، طول خمیدگی، h و طول‌های پیوند تک لایه B₂CO

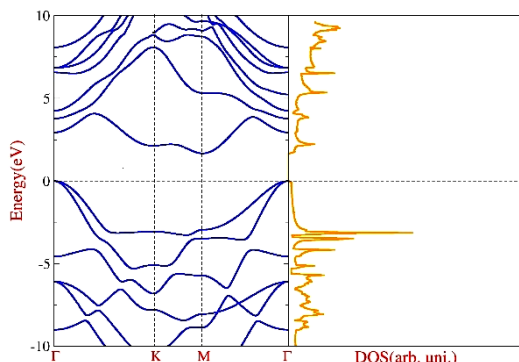
$h(\text{\AA})$	$\Delta_{\text{B-C}}(\text{\AA})$	$d_{\text{B-O}}(\text{\AA})$	$d_{\text{B-C}}(\text{\AA})$	$a(\text{\AA})$	ساختار
۲,۳۱	۱,۶۰	۱,۵۹	۱,۵۰	۲,۵۸	B ₂ CO

آینده نانو الکترونیک باشند. به ویژه، ساختار نواری الکترونی و طیف چگالی حالت‌ها، به عنوان یک عامل اصلی در تعیین خواص الکترونی و ترمومالکتریکی، مورد توجه زیادی قرار گرفته است. بر این اساس در این بخش، نتایج مربوط به خواص ساختاری و الکترونی نانو ساختار تک لایه B₂CO جهت به دست آوردن ضرایب مربوط به خواص ترمومالکتریکی، را مورد بحث قرار می‌دهیم. یاخته اولیه این نانوساختار مورد بررسی در این پژوهش، به صورت یاخته اولیه با چهار اتم (یک اتم اکسیژن، یک اتم کربن و دو اتم بورن) در نظر گرفته شده است. با توجه به فرایند بهینه‌سازی، تک لایه B₂CO در یک شبکه شش‌ضلعی خمیده با ثابت شبکه $a=2,58\text{\AA}$ و بیشینه فاصله خمیدگی $h=2,31\text{\AA}$ به پایداری می‌رسد. طرحواره‌ای از اینچنین نانوساختار در شکل ۱ نشان داده شده است. با نگاهی دقیق به شبکه بلوری تک لایه B₂CO، مشاهده می‌شود که تک لایه از دو صفحه شش‌ضلعی بورن-کربن (شامل شش‌ضلعی‌های C-B-C با طول پیوند $d_{\text{B-C}}=1,50\text{\AA}$) و بورن-اکسیژن (شامل شش‌ضلعی‌های O-B-C با طول پیوند $d_{\text{B-O}}=1,59\text{\AA}$) که توسط پیوندهای B-C با طول پیوند $\Delta_{\text{B-C}}=1,60\text{\AA}$ متصل هستند، تشکیل شده است. نتایج در جدول ۱ ارائه شده است.

لایه‌ها در یاخته‌های مجاور استفاده شده است. سپس، با استفاده از انرژی الکترونی محاسبه شده، ضرایب تراپردی ترمومالکتریکی توسط حل معادله نیمه کلاسیکی بولتزمن در تقریب زمان واهلش، توسط بسته محاسباتی BoltzTraP را به دست می‌آوریم [۱۸]. محاسبات تراپردی بولتزمن برای نیمرساناهای حجمی به طور گسترده مورد استفاده قرار گرفته است به طوری که نتایج حاصل رضایت بخش است [۲۰ و ۲۱]. مواد با ابعاد کم نسبت به مواد حجمی، به واسطه پراکندگی‌های گوناگون توسط فونون‌ها، خواص ترمومالکتریکی بهتری را از خود نشان می‌دهند [۲۱ و ۲۲].

۳. بحث و نتیجه‌گیری

ساختار الکترونی و پاسخ ترمومالکتریکی نانوساختارها، دو خاصیت فیزیکی مهم هستند که بایستی مورد بررسی قرار گیرند. اثرات برهمنشی بس-ذره‌ای نقش مهمی در مطالعه خواص الکترونی و ترمومالکتریکی سامانه‌های ابعاد کم، ناشی از کاهش اثرات استقرار و افزایش همبستگی الکترون-الکترون، بازی می‌کند. انتظار می‌رود که نانوساختار تک لایه B₂CO دارای خواص مختلف قابل توجهی و نیز پتانسیل بالقوه‌ای برای



شکل ۲. ساختار نواری (سمت چپ) و چگالی حالت‌های الکترونی (سمت راست) تک لایه B_2CO ، با گاف نواری غیرمستقیم 1.68 eV در طول راستاهای تقارنی، $(0, 0, 0)$ ، $(0, 0, 0)$ ، $(0, 0, 0)$ ، $(0, 0, 0)$ و $(0, 0, 0)$ رسم شده است. مقیاس انرژی بر حسب eV و مبدأ انرژی به طور دلخواه به عنوان بیشینه نوار ظرفیت انتخاب شده است.

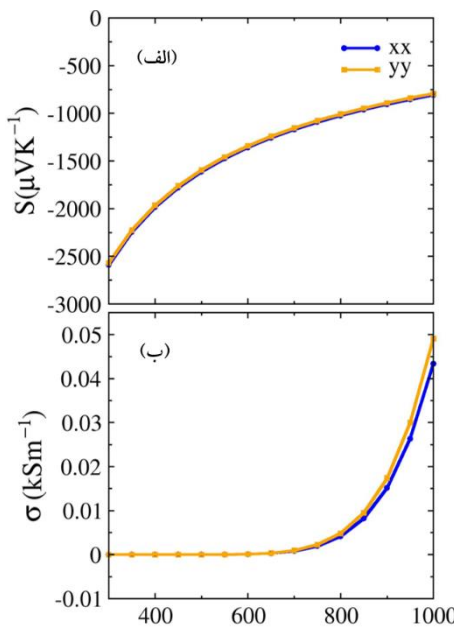
تابع توزیع فرمی دیراک است [۲۱]. در ادامه، خواص ترموالکتریکی نانوساختار مورد بررسی را از جمله ضرایب ترموالکتریک مانند ضریب سیبک، رسانندگی الکتریکی، رسانندگی گرمایی الکترونی، ضریب عامل توان و کمیت بدون بعد ضریب ارزشی ZT را مورد مطالعه قرار می‌دهیم.

شکل ۳. الف و ب به ترتیب، ضریب سیبک (S) و رسانندگی الکتریکی (σ) در طول راستاهای x و y را بر حسب تابعی از دما و در پتانسیل شیمیایی صفر، $= 0 \mu\text{eV}$ ، برای نانوساختار B_2CO نشان می‌دهد. مکان پتانسیل شیمیایی (μ) نقش مهمی در خواص تراپردازی بازی می‌کند. مکان μ در ساختار نواری تعیین کننده مشارکت الکترون‌های نوار ظرفیت و یا رسانش در تراپردازی است و بنابراین ضریب سیبک و رسانندگی الکتریکی را تحت تأثیر قرار می‌دهد. می‌توان با تغییر دادن تعداد الکترون‌های نوار ظرفیت، پتانسیل شیمیایی را دست‌کاری کرد. همان‌طور که از شکل ۳ مشخص است، خواص تراپردازی تقریباً همسانگرد برای این نانوساختار، در محدوده دمایی نشان داده شده را نمایش می‌دهد. همچنین، مقدار ضریب سیبک B_2CO در همه محدوده دمایی قابل توجه است. به طور مشخص، در شکل ۳. الف، مقدار ضریب سیبک در دمای 300 K و در پتانسیل شیمیایی صفر، $-2595\mu\text{V/K}$ است. بنابراین، با توجه به این که ضریب سیبک منفی است، نانوساختار B_2CO نیمرسانای نوع n است و

در شکل ۲ ساختار نواری الکترونی و طیف چگالی حالت‌ها در طول راستاهای تقارنی $\Gamma-K-M-\Gamma$ برای نانوساختار تک لایه B_2CO ، نشان داده شده است. همان‌طور که از شکل ۲ مشاهده می‌شود، نانوساختار تک لایه B_2CO رفتار نیم‌رسانا از خود نشان می‌دهد، به طوری که ساختار تک لایه B_2CO ، با گاف نواری غیرمستقیم (بیشینه نوار ظرفیت (VBM) در نقطه Γ و CBM در مسیر $M-\Gamma$ ، در حوالی نقطه M) به میزان 1.68 eV را از خود نشان می‌دهد. این گاف نواری از گاف‌های نواری مواد ترموالکتریک مرسوم (0.1 eV برای Bi_2Te_3 و 0.14 eV برای Sb_2Te_3) بزرگ‌تر است [۲۱]، که منجر به ایجاد اختلاف زیادی در خواص ترموالکتریکی می‌شود. از آنجایی که ضرایب تراپردازی عمدهاً وابسته به خواص الکترونی هستند، گاف نواری بزرگ ممکن است باعث کاهش غلظت حامل‌های بار در اطراف انرژی فرمی شود. این امر می‌تواند منجر به ضرایب سیبک بزرگ شود و همچنین می‌توان با آلایش مناسب حامل‌های بار، ضریب عامل توان و ضریب ارزشی بزرگی را به دست آورد. لازم به ذکر است در یک نیم‌رسانا، غلظت حامل‌ها برای یک دما (T) و پتانسیل شیمیایی (μ) مفروض با استفاده از تقریب باند سخت (RBA) توسط رابطه:

$$N = \int_{-\infty}^{VBM} dE n(E) [f(\mu, T) - 1] + \int_{CBM}^{\infty} dE n(E) f(\mu, T), \quad (1)$$

محاسبه می‌شود که در آن $n(E)$ چگالی حالت‌های انرژی و f



شکل ۳. (الف) و (ب) به ترتیب، نمودار تغییرات ضریب سیبک و رسانندگی الکتریکی در طول راستاهای x و y بر حسب تابعی از دما برای نانوساختار B_2CO .

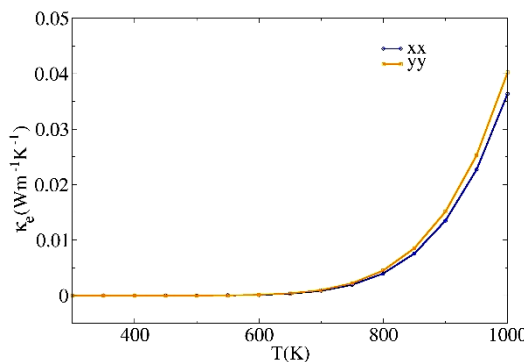
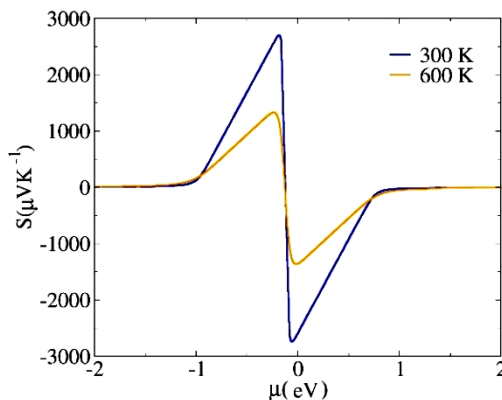
دهنده پایداری حرارتی بسیار خوب B_2CO است [۲۵]. از شکل ۴ به راحتی ملاحظه می‌شود که به ازای دمای بیشتر از ۶۵۰ کلوین، رسانندگی گرمایی الکترونی افزایش سریع پیدا می‌کند. این رفتار با افزایش رسانندگی الکتریکی نشان داده شده در شکل ۳. ب به دلیل رابطه متناسب بین رسانندگی الکتریکی و رسانندگی گرمایی الکترونی مطابقت دارد. اگر رابطه ضریب ارزشی ZT را به صورت زیر بنویسیم:

$$ZT = \frac{S^2 \sigma T}{\kappa_e} \frac{\kappa_e}{\kappa_e + \kappa_l}, \quad (2)$$

رابطه $ZT_e = S^2 \sigma T / \kappa_e$ مستقل از زمان واهلش τ ، و حد بالایی از ضریب ارزشی ترموالکتریک است که مشارکت رساندگی گرمایی فونونی ناشی از ارتعاشات شبکه را در نظر نمی‌گیرد. اگر سهم شبکه در رسانندگی گرمایی (κ_l) در مقایسه با جمله الکترونی (κ_e) ناچیز باشد، ZT_e به ZT نزدیک می‌شود. در دمای‌های بسیار پایین، تعداد کمی از الکترون‌ها برانگیخته می‌شوند که منجر به رسانندگی گرمایی الکترونی کم می‌شود. بنابراین، ممکن است که رسانندگی گرمایی توسط سهم شبکه بیان شود به این معنی که جمله مربوط به رسانندگی گرمایی

الکترون‌ها حامل‌های اصلی بار در رسانش هستند [۲۳]. شکل ۳ ب رسانندگی الکتریکی B_2CO را نشان می‌دهد به طوری که با افزایش دما مقدار آن از صفر تا حدود 50 kS/m متغیر است. همچنین، در محدوده دمایی صفر تا ۶۵۰ کلوین، این کمیت تقریباً ثابت است؛ اما هنگامی که حامل‌های بار بیشتری در اثر افزایش دما برانگیخته می‌شوند، افزایش سریعی در رسانندگی الکتریکی مشاهده می‌شود.

در محاسبات تراپردی بولتزمن در تقریب زمان واهلش، ضریب سیبک، مستقل از زمان واهلش τ است، در صورتی که رسانندگی الکتریکی به طور خطی وابسته به τ است. به علاوه، رسانندگی گرمایی الکترونی (κ_e) توسط معادله ویدمان- فرانز- رسانندگی گرمایی ($\kappa_e = L\sigma T$) ثابت لورنتز است) بیان می‌شود، بنابراین، $\kappa_e = L\sigma T$ به τ وابسته است. در این مقاله، زمان واهلش ثابت $1 \times 10^{-14} \text{ s}$ در نظر گرفته می‌شود [۲۴ و ۲۵]. در شکل ۴ نمودار تغییرات رسانندگی گرمایی الکترونی، در طول راستاهای x و y بر حسب دما برای نانوساختار B_2CO رسم شده است. همان طور که مشاهده می‌شود، رسانندگی گرمایی الکترونی B_2CO تقریباً تا دمای ۶۵ کلوین مقدار صفر را نتیجه می‌دهد. این نتیجه نشان

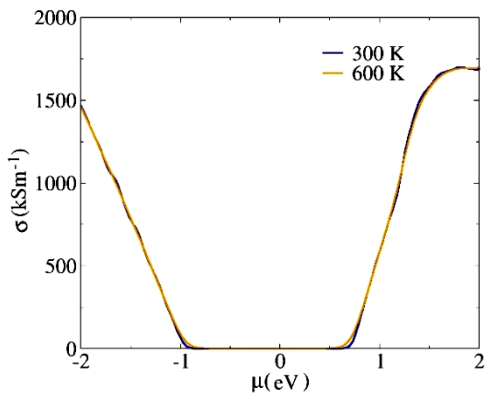
شکل ۴. نمودار تغییرات رسانندگی گرمایی در طول راستاهای x و y بر حسب تابعی از دما برای نانوساختار B_2CO .شکل ۵. نمودار تغییرات ضریب سیبیک بر حسب تابعی از پتانسیل شیمیایی برای نانوساختار B_2CO در دماهای ۳۰۰ و ۶۰۰ کلوین.

است. جالب توجه این است که S در محدوده کوچکی در اطراف $\mu=0$ بسیار افزایش می‌یابد که نشان دهنده این است که می‌توان مقدار قابل توجهی از S را از طریق آلایش کم حامل-های نوع n یا p به دست آورد. همچنین، بیشینه مقدار $|S|$ برای این نانوساختار با افزایش دما کاهش پیدا می‌کند، به طوری که مقدار آن از $2740 \mu\text{V/K}$ در دمای ۳۰۰ کلوین به $1330 \mu\text{V/K}$ در دمای ۶۰۰ کلوین می‌رسد [۳۱ و ۳۰].

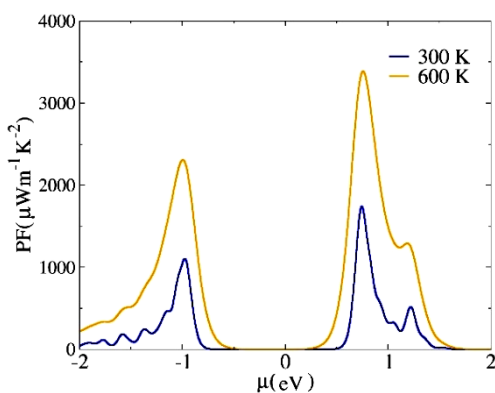
نمودار تغییرات رسانندگی الکتریکی نانوساختار تک لایه B_2CO در شکل ۶ در دماهای مختلف ۳۰۰ و ۶۰۰ کلوین رسم شده است. همان طور که مشاهده می‌شود، نمودار تقریباً مقدار مستقل از دما را نشان می‌دهد و همچنین با افزایش نوع آلایش (n یا p) رسانندگی الکتریکی افزایش می‌یابد. بیشینه مقدار رسانندگی الکتریکی در دمای ۳۰۰ کلوین، در آلایش نوع n حامل‌ها به میزان 1754 kS/m اتفاق می‌افتد که در آن S واحد زیمنس است. در شکل ۶ بدیهی است که مقدار رسانندگی

فونونی ناشی از ارتعاشات شبکه نقش عمدی را در ZT بازی می‌کند. هنگامی که دما افزایش پیدا می‌کند، به ویژه برای دماهای بالاتر از دمای اتاق، الکترون‌های بیشتری برانگیخته می‌شوند که منجر به افزایش رسانندگی الکترونی می‌شود، در حالی که سهم شبکه به دلیل افزایش پراکندگی‌های فونونی ناشی از ارتعاشات شبکه، کاهش می‌یابد. بنابراین، همان طور که دما به مقادیر بالاتر افزایش می‌یابد، نسبت ZT تخمین خوبی از ZT است [۲۹-۲۵].

در شکل‌های ۵، ۶، ۷ و ۸ ضریب سیبیک، رسانندگی الکتریکی، ضریب عامل توان و ضریب ارزشی در دماهای مختلف (۳۰۰ و ۶۰۰ کلوین) بر حسب تابعی از پتانسیل شیمیایی به منظور بهینه‌سازی عملکرد حرارتی این نانوساختار، رسم شده‌اند. از آنجایی که پتانسیل شیمیایی $\mu=0$ در پایین‌ترین نوار رسانش این نانوساختار انتخاب شده است، پتانسیل شیمیایی مثبت (منفی) متناظر با آلایش نوع n (p) حامل‌های بار



شکل ۶. نمودار تغییرات رسانندگی الکتریکی بر حسب تابعی از پتانسیل شیمیایی برای نانوساختار B_2CO ، در دماهای ۳۰۰ و ۶۰۰ کلوین.



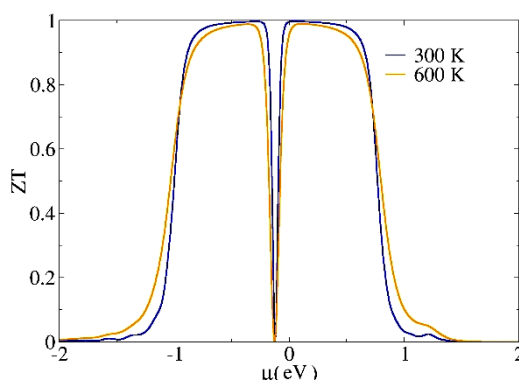
شکل ۷. (الف) و (ب) نمودار تغییرات ضریب عامل توان بر حسب تابعی از پتانسیل شیمیایی برای نانوساختار B_2CO ، در دماهای ۳۰۰ و ۶۰۰ کلوین.

که نشان دهنده ضریب عامل توان بزرگ‌تر در دماهای ۶۰۰ کلوین برای محدوده پتانسیل شیمیایی بیان شده خواهد بود. بدیهی است که $|S|$ بزرگ، منجر به ضریب عامل توان بزرگ برای هر دو نوع آلایش n و p برای این نانوساختار می‌شود و همچنین آلایش نوع n نتایج بهتری نسبت به آلایش نوع p را نمایش می‌دهد. در مقابل، قله‌های ضریب عامل توان در ۶۰۰ کلوین بالاتر از ۳۰۰ کلوین هستند که این امر به واسطه $|S|$ بزرگ‌تر در مقادیر بزرگ $|\mu|$ است. در جدول ۲ قله‌های ضریب عامل توان و غلظت حامل‌های بار مربوطه برای هر دو نوع آلایش n و p در دماهای ۳۰۰ و ۶۰۰ کلوین از این نانوساختار نشان داده شده است.

همان طور که از شکل ۸ مشاهده می‌شود، مقدار ZT این ترکیب در مقایسه با نمودار ضریب عامل توان، تقریباً در محدوده کوچکی از $|\mu|$ به بیشینه مقدار خود می‌رسد. در شکل

الکتریکی با تغییر دما از ۳۰۰ به ۶۰۰ کلوین تغییر نکند، این وضعیت در شکل ۳. ب هم دیده می‌شود که مقدار رسانندگی الکتریکی برای دما زیر ۶۵۰ کلوین تقریباً صفر است. دلیل آن پنهانی زیاد گاف نواری ساختار است که باعث می‌شود در محدوده زیادی از انرژی هیچ حالت مجازی برای حامل‌ها در سیستم وجود نداشته باشد. کم کم با افزایش دما، مشتق فرمی (که نقش کلیدی در فرمول رسانندگی الکتریکی دارد) پهن می‌شود و حالت‌های مجاز نوار ظرفیت و رسانش وارد محدوده غیر صفر آن می‌شود و انتگرال رسانندگی غیر صفر می‌شود.

در شکل ۷ نمودار تغییرات ضریب عامل توان بر حسب تابعی از پتانسیل شیمیایی برای نانوساختار B_2CO در دماهای ۳۰۰ و ۶۰۰ کلوین، رسم شده است. همان طور که در شکل ۵ ملاحظه می‌شود، برای مقادیر بزرگ $|\mu|$ ، $|S|$ در دما ۳۰۰ کلوین نسبت به دما ۶۰۰ کلوین سریع‌تر به صفر می‌کند



شکل ۸. نمودار تغییرات ضریب ارزشی بر حسب تابعی از پتانسیل شیمیایی برای نانوساختار B_2CO در دماهای ۳۰۰ و ۶۰۰ کلوین.

جدول ۲. قله‌های ضریب عامل توان، ($\mu W/mK^3$)^{PF} و غلظت‌های حامل‌های بار، (A/cm³)^N برای آلایش نوع n و p تک لایه B_2CO در دماهای ۳۰۰ و ۶۰۰ کلوین.

نوع	نوع		دما
	p	n	
N	$26/85 \times 10^{+12}$	1103	300
PF	$26/43 \times 10^{+12}$	2307	600

نظریه نیمه کلاسیکی ترابردی بولتزمن، مورد مطالعه قرار گرفتند. نتایج، خواص ترموالکتریک برجسته‌ای برای این نانوساختار را نشان می‌دهد؛ به طوری که می‌توان ضرایب سیبک بزرگ، رسانندگی‌های گرمایی پایین، ضرایب عامل توان بالا را در این نانوساختار به دست آورد. بنابراین، انتظار می‌رود که در آینده، نانوساختار تک لایه B_2CO نامزد بسیار خوبی برای مواد ترموالکتریک با کارایی بالا باشد. علاوه بر این، تک لایه B_2CO ، ویژگی‌های نسبی برجسته ترموالکتریکی را از خود نمایش می‌دهد، به طوری که این نانوساختار یک نیم‌رسانای نوع n است و مقدار ضریب سیبک و ضریب ارزشی در دماهای اتاق به ترتیب، $V/K\mu = 2595$ و 1 به دست آمدند.

۸ نمودار تغییرات ضریب ارزشی بر حسب تابعی از پتانسیل شیمیایی برای نانوساختار B_2CO در دماهای ۳۰۰ و ۶۰۰ کلوین، رسم شده است.

مقدار ضریب ارزشی بزرگ‌تری در دمای ۳۰۰ کلوین مشاهده می‌شود، به طوری که برای آلایش نوع n و p حامل‌ها، مقدار ۱ را نشان می‌دهد، که نشان دهنده عملکرد خوب B_2CO در دمای اتاق است.

۴. نتیجه‌گیری

در این مقاله، خاصیت‌های الکترونی و ترموالکتریکی نانوساختار تک لایه B_2CO با استفاده از محاسبات اصول اولیه همراه با

مراجع

1. K S Novoselov, et al., *Science* **306** (2004) 666.
2. H Sahin and S Ciraci, *Phys. Rev. B* **84** (2011) 035452.
3. R H Baughman, et al., *Phys.* **87** (1987) 6687.
4. S Zhang, et al., *Nano Lett.* **17** (2017) 3434.
5. S Zhang, et al., *Chem. Soc. Rev.* **47** (2018) 982.
6. J Ji, et al., *Nat. Commun.* **7** (2016) 13352.
7. Q Tang, Z Zhou, and Z Chen, *Wiley Interdiscip. Rev. Comput. Mol. Sci.* **5, 5** (2015) 360.
8. C Zhi, et al., *Adv. Mater.* **21** (2009) 2889.

9. S Zhang, *et al.*, *Proc. Natl. Acad. Sci.* **112**, **8** (2015) 2372.
10. S Saxena, R P Chaudhary, and S Shukla, *Sci. Rep.* **6** (2016) 31073.
11. S Huang, W Kang, and L Yang, *Appl. Phys. Lett.* **102** (2013) 133106.
12. M Naseria and D M Hoatb, *Comput. Mater. Sci.* **186** (2021) 109975.
13. M M Abutalib, *Superlattices Microstruct* **149** (2021) 106759.
14. B G Levi, *Phys. Today* **67** (2014) 14.
15. J He, M G Kanatzidis, and V P Dravid, *Mater. Today* **16** (2013) 166.
16. P Giannozzi, *et al.*, *J. Phys. Condens. Matter* **21** (2009) 395502.
17. J P Perdew, K Burke, and M Ernzerhof, *Phys. Rev. Lett.* **77** (1996) 3865.
18. G K H Madsen and D J Singh, *Comput. Phys. Commun.* **175** (2006) 67.
19. G Ding, G Y Gao, and K L Yao, *J. Phys. D Appl. Phys.* **47** (2014) 385305.
20. Y Saeed, N Singh, and U Schwingenschlogl, *Sci. Rep.* **4** (2014) 4390.
21. N F Hinsche, *et al.*, *Phys. Rev. B* **86** (2012) 085323.
22. G Shi and E Kioupakis, *J. Appl. Phys.* **117** (2015) 065103.
23. Ö C Yelgel, C Yelgel, and J Magnes, *Alloys* **7** (2019) 514.
24. S Yabuuchi, *et al.*, *Sci. Rep.* **5** (2015) 9567.
25. G Ding, G Gao, and K Yao, *Sci. Rep.* **5** (2015) 9567.
26. L D Zhao *et al.*, *Nature* **508** (2014) 373.
27. N Gaonkar and R G Vaidya, *Phys. Lett. A* **384** (2020) 126912.
28. D L Nika, *et al.*, *Phys. Rev. B* **79** (2009) 155413.
29. B Peng, *et al.*, *Sci. Rep.* **6** (2016) 20225.
30. Z Gao and J S Wang, *ACS Appl. Mater. Interfaces* **12** (2020) 14298.
31. S Tab, *et al.*, *Appl. Phys. A* **126** (2020) 544.